



مجله علوم و تکنولوژی پلیمر،

سال بیست و دو؛ شماره ۲،

۱۳۸۸، ۸۷-۹۵

ISSN : 1016-3255

ساخت کامپوزیت هیدروژل بر پایه پلی آکریل آمید و اثر کائولینیت بر خواص آن در شرایط مخزن

فرهاد سلیمی^۱، محسن وفایی سفتی^{*}^۱، مهدی رزاقی کاشانی^۲، مجید رفیع پور^۱

تهران، دانشگاه تربیت مدرس، دانشکده مهندسی شیمی، ۱ - گروه مهندسی شیمی، ۲ - گروه مهندسی پلیمر، صندوق پستی ۱۴۱۱۵-۱۴۳

دریافت: ۸/۷/۱۵، پذیرش: ۸/۷/۱۶

چکیده

در این پژوهش، کامپوزیت ژل پایه پلی آکریل آمید با شبکه ساز استات کروم (III) با استفاده از روش حلال (آب مقطر و آب سازند) و نانوذرات رس تهیه شد. به کمک آزمایش‌های XRD، فاصله بین لایه‌ای برای ذرات رس کائولینیت در کامپوزیت ژل ارزیابی شد. اصلاح کائولینیت با استفاده از دی‌متیل‌سولفوکسید باعث شد که فاصله بین لایه‌ای از $7.21 \pm 0.82 \text{ \AA}$ به 10.82 \AA افزایش یابد. نتایج نشان می‌دهد که برای نمونه‌های ساخته شده با خاک رس اصلاح نشده علاوه بر پیک خاک رس خالص پیکی پهن در $2\theta = 8^\circ$ ، وجود دارد که نشان دهنده نفوذ پلیمر در بین لایه‌های خاک رس است. در نمونه ساخته شده با خاک رس اصلاح شده هیچ افزایشی در فاصله بین لایه‌ای مشاهده نشد. افزودن ۱۵ درصد خاک رس (اصلاح شده و نشده) باعث کاهش ۲۰ درصدی چروکیگی شد. زمان ژل شدن برای کامپوزیت‌های ساخته شده با هر دو نوع خاک رس با ازدیاد غلظت آن شروع به افزایش کرد و این افزایش برای نمونه تهیه شده با خاک رس اصلاح نشده بیشتر بود. گرانزوی ژل در نمونه‌های ساخته شده با خاک رس اصلاح شده با ازدیاد غلظت آن شروع به افزایش کرد و در غلظت ۱۵ درصد خاک رس گرانزوی به بیشترین مقدار رسید. اما برای خاک رس اصلاح نشده بیشینه گرانزوی در غلظت ۳۰ درصد مشاهده شد.

واژه‌های کلیدی

کامپوزیت، خاک رس اصلاح شده، پلی آکریل آمید، کائولینیت، روشن حلال

*مسئول مکاتبات، پیام نگار:

vafaiesm@modares.ac.ir

Preparation of Composite Hydrogel Based on Polyacrylamide and the Effect of Kaolinite on Its Properties in the Reservoir Conditions

F. Salimi¹, M. Vafaie^{*1}, M. Razzaghi Kashani², M. Rafipoor¹

Faculty of Engineering, Department of Chemical Engineering

1. Chemical Engineering Group, 2. Polymer Engineering Group; Tarbiat Modares University,

P.O. Box: 14115-143, Tehran, Iran

Received 2 November 2008, accepted 5 May 2009

Abstract

A gel composite (based on polyacrylamide and crosslinker Cr(III) acetate) was prepared by solvent method (distillate and water formation) and nanoclay particle (kaolinite). Using XRD tests, d_{001} was evaluated for kaolinite nanoparticles in gel composite. Kaolinite modification using dimethyl-sulfoxide led to increase interlamellar spacing from 7.21 to 10.82 \AA . Based on the results obtained for samples prepared from unmodified clay besides the pure clay, there is a wide peak at $2\theta = 8^\circ$; which is a representative of polymer diffusion between the clay layers. For the sample prepared from modified clay, no increase in interlamellar space was observed. Addition of 15% clay (modified and unmodified) caused the syneresis to reduce by 20%. The gelation time for composites prepared from both types of clays increased due to increases in clay concentration, which this increase for the sample prepared from unmodified clay was greater. The viscosity of gel for samples prepared from modified clay increased due to increased clay concentration, which reached its maximum for 15% clay concentration. However for unmodified clay the maximum value of viscosity was observed for 30% clay concentration.

Key Words

composite, modified clay, polyacrylamide, kaolinite, solvent method

(*) To whom correspondence should be addressed.

E-mail: vafaiesm@modares.ac.ir

مقدمه

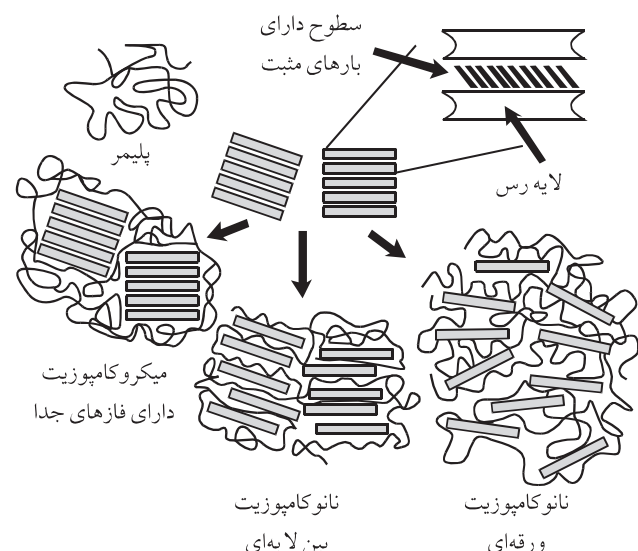
مورد استفاده در تولید کامپوزیت، سیلیکات‌های لایه‌ای هستند. سیلیکات‌های لایه‌ای بخشی از خانواده بزرگ فیلوسیلیکات‌ها هستند. به طور معمول سیلیکات‌های لایه‌ای شامل صفحه‌های دو بعدی چهاروجهی هستند. صفحات چهاروجهی از کتار هم قرار گرفتن صفحه‌های هشت وجهی و با سهیم شدن اتم‌های هیدروژن، به یک دیگر وصل می‌شوند. معمولاً دونوع سیلیکات‌لایه‌ای با نام‌های ۱:۱ و ۲:۱ وجود دارد. در سیلیکات‌لایه‌ای ۱:۱ صفحه چهاروجهی به صفحه‌ای هشت وجهی وصل می‌شود (مانند کاتولینیت)، اما در نوع سیلیکات‌لایه‌ای ۱:۲ صفحه هشت وجهی بین دو صفحه چهاروجهی قرار می‌گیرد (مانند مونت موریلوبنیت) [۱۰].

آماده‌سازی و بررسی خواص ژل‌های کامپوزیت‌ها و نانوکامپوزیت‌های سنتزشده با روش پلیمرشدن رادیکال آزاد یا ژل شدن مونومرها در مجاورت خاک‌های رس در حالت‌های با شبکه‌ساز آلى یا بدون آن مورد بررسی‌های مختلف قرار گرفته است [۱۱-۲۳]. اما، تنها تعداد گزارش‌های محدودی درباره آماده‌سازی نانوکامپوزیت‌های ژل تهیه شده با شبکه‌ساز فلزی در مجاورت خاک رس موجود هستند [۲۴-۲۶].

به تازگی عالی و همکاران نانوکامپوزیت پلیمر - خاک رس مونت موریلوبنیت را با روش حلal و شبکه‌ساز استات کروم تهیه کرده‌اند. از پلی‌اکریل آمید و پلی‌اکریل آمید سولفات استفاده شده و آزمون‌های تشکیل ژل و اثر مقدار خاک رس و غلظت نمک بر تورم بررسی شده است. نتایج بررسی رفتار تشکیل ژل با استفاده از رئومتر دینامیکی نشان می‌دهد که مدول کشسانی برای نانوکامپوزیت شامل پلی‌اکریل آمید با افزایش غلظت خاک رس شروع به کاهش کرده است. برای پلی‌اکریل آمید سولفات تا غلظت ppm ۱۰۰۰ مدول کشسانی کاهش یافته، ولی با افزایش بیشتر غلظت خاک رس شروع به افزایش کرده است. مقدار تورم برای هر دو پلیمر با افزایش غلظت خاک رس در آب شروع به کاهش کرده است [۲۴، ۲۵].

در این پژوهش با استفاده از روش حلal، کامپوزیت‌های پلی‌اکریل آمید آب کافت شده - خاک رس (کاتولینیت اصلاح شده و نشده) تهیه شدند. از استات کروم به عنوان شبکه‌ساز در ساخت نمونه‌ها و برای اصلاح کاتولینیت از دی‌متیل سولفوكسید استفاده شد. در ادامه با استفاده از آزمون‌های XRD ساختار نمونه‌های ساخته شده بررسی شد. خواص و اتورم نمونه‌های ساخته شده ارزیابی شد. هم‌چنین، خواص گرانزوی نمونه‌ها با استفاده از رئومتر نوع استوانه‌های هم مرکز ارزیابی شد. از آنجا که دمای اغلب مخازن ایران در حدود ۹۰°C است، این دما به عنوان مبنای آزمایش‌ها قرار گرفت. در چند کار قبلی که در این بخش به برخی از آنها اشاره شد، برای بهبود خواص ژل از مونت موریلوبنیت استفاده شده بود. مونت موریلوبنیت

ژل‌های پلیمری از واکنش بین یک محلول پلیمری و شبکه‌ساز تهیه می‌شوند. امروزه به طور گسترده‌ای از این مواد در صنایع مختلف از جمله نفت و گاز استفاده می‌شود. از مهم‌ترین کاربردهای ژل پلیمر در صنعت نفت، کنترل آب اضافی تولیدی به وسیله اصلاح پروفیل یا بستن مسیرهای با تراوایی زیاد و حاوی آب است [۱-۸]. این ژل‌ها در مقابل آب سازند آسیب‌پذیر هستند، زیرا آب سازند به دلیل دارا بودن مقدار زیادی یون‌های تک و دوظرفیتی باعث کاهش استحکام و تخریب ساختار این مواد می‌شود [۹]. به همین دلیل، امروزه با افزودن خاک رس به ساختار پلیمر (کامپوزیت‌ها) خواص استحکامی و گرمایی آن را بهبود می‌بخشدند. نانوکامپوزیت‌ها از نفوذ شاخه‌های پلیمر در میان لایه‌های خاک رس به وجود می‌آیند. لایه‌های رس داخل شبکه پلیمر به دو شکل بین لایه‌ای و ورقه‌ای پخش می‌شوند که این دو ساز و کار بر حسب توزیع لایه‌های خاک رس در میان پلیمر ایجاد می‌شوند. در شکل ۱ ساز و کارهای مختلف شکل گیری ساختارهای پلیمر - خاک رس نشان داده شده است. با توجه به شکل ۱ سه ساختار مختلف هنگام افزودن خاک رس به پلیمر مشاهده می‌شود که در دو مورد ساختار نانوست و در یک مورد ساختار میکروست. با توجه به شکل ۱ در ساختار میکرو، هیچ تغییری در لایه‌های رس ایجاد نشده و در حقیقت هیچ برهم کنشی بین خاک رس و پلیمر رخ نداده است. در ساختار نانو، اگر لایه‌ها به طور جزیی از هم باز شده و پلیمر بین لایه‌ها نفوذ کند، ساختار بین لایه‌ای می‌شود. ولی اگر لایه‌های خاک رس به شکل همگن داخل زمینه پلیمر پخش شوند، ساختار از نوع ورقه‌ای است. یکی از انواع خاک‌های رس



شکل ۱- ساز و کارهای مختلف شکل گیری ساختارهای پلیمر- خاک رس [۱۰].

همین دلیل اصلاح این خاک رس اهمیت ویژه‌ای دارد. در این پژوهش، کائولینیت به روش زیر اصلاح شد [۲۶]: ۱ g از خاک رس خالص شده به بالن ته گرد ۲۵۰ mL DMSO ۱۰۰ mL دی‌متیل سولفوکسید (محلول ۹۵ درصد حجمی DMSO در آب) به آن اضافه شد. محلول در دمای ۶۰°C به مدت ۱۹۲ h هم زده شد. سپس، با دور ۴۰۰۰ rpm سانتریفوژ شد. محصول حاصل از سانتریفوژ (کمپلکس-DMSO-کائولینیت) در دمای ۴۰°C به مدت ۱۲۰ h خشک شد، تا دی‌متیل سولفوکسید اضافی تبخیر شود.

تهیه کامپوزیت

زلانت کامپوزیت به روش زیر تهیه شد [۲۷]: ابتدا محلول ۲ درصد از خاک رس در آب تهیه شد به طوری که برای متورم شدن رس و همگن شدن سامانه، عمل اختلاط تا ۲۴ h ادامه یافت (در این مرحله برای تهیه تعلیق پایدار از کائولینیت اصلاح نشده در آب حدود ۱ تا ۲ mL سود استفاده شد). محلول خاک رس آماده شده در مرحله پیش به محلول پلیمر اضافه شد. غلظت بهینه پلیمر برای همه نمونه‌ها با استفاده از آزمون بطری (این روش اولین مرتبه توسط آفای sydansk استفاده شد) ۱۷۰۰۰ ppm و برای عامل شبکه ساز در بازه ۲۰۰۰ تا ۲۵۰۰ ppm به دست آمد. محلول به مدت ۲۴ h در محلوط کن با دور زیاد قرار گرفت (غلظت‌های خاک رس موجود در ژلانت مقادیر ۳، ۹، ۱۵ و ۳۰ درصد وزنی پلیمر انتخاب شدند). در این مرحله محلول آب شیر یا آب سازند و شبکه ساز تهیه شد و برای حدود ۱۰ min با هم محلوط شدند. در نهایت، مواد آماده شده در مراحل قبل به مدت ۱۰ min با هم محلوط شدند تا ژلانت کامپوزیت آماده شود. در شکل ۲ طرحی از روند ساخت کامپوزیت آمده است.

نتایج و بحث

در ابتدا ساختار نمونه‌های بکمک آزمون‌های XRD بررسی شدند. در ادامه اثر غلظت خاک رس و اصلاح کائولینیت روی خواص مختلف خاک رس از جمله چروکیدگی و در نهایت خواص رئولوژیکی ارزیابی شد.

آزمون پراش پرتو X (XRD)

آزمون پراش پرتو X، برای بررسی ساختار خاک رس در کامپوزیت به کار گرفته شد. نمونه‌های خشک و پودر شده کامپوزیت‌های پلیمر و ژل با استفاده از دستگاه پراش پرتو X با ولتاژ ۴۰ kV و جریان ۴۰ mA (λ = ۰.۰۶۵ Å) در محدوده ۲۰°-۲۰° برابر ۰/۵-۰/۵ بررسی شدند.

محصولی خارجی است و در داخل کشور تولید نمی‌شود. از برتری‌های کار انجام شده این است که خاک رس استفاده شده در این کار از داخل کشور و از معدن سمیرم تهیه شد که می‌تواند به عنوان عاملی در کاهش هزینه‌ها مدنظر قرار گیرد.

تجربی

مواد و دستگاه‌ها

در این پژوهش، از پلی‌اکریل آمید با درجه آب کافت ۳۰ درصد، ۶۵ درصد مقدار فعال و وزن متوسط مولکولی ۱۳ میلیون دالتون استفاده شد. این پلیمر از پژوهشگاه پلیمر و پتروشیمی ایران تهیه شد. استات کروم (III) به عنوان شبکه ساز فلزی و خاک رس کائولینیت با فاصله بین لایه‌ای (d₀₀₁) برابر با ۰.۷۲۱ Å تهیه شده از معدن سمیرم، مورد استفاده قرار گرفت. آب سازند استفاده شده در این کار از مخزن آسماری اهواز تهیه شد که ترکیب درصد آن در جدول انشان داده شده است.

دستگاه پراش پرتو X مدل Philips Xpert و رئومتر QC Rheolab محصول شرکت Anton Paar به کار گرفته شد.

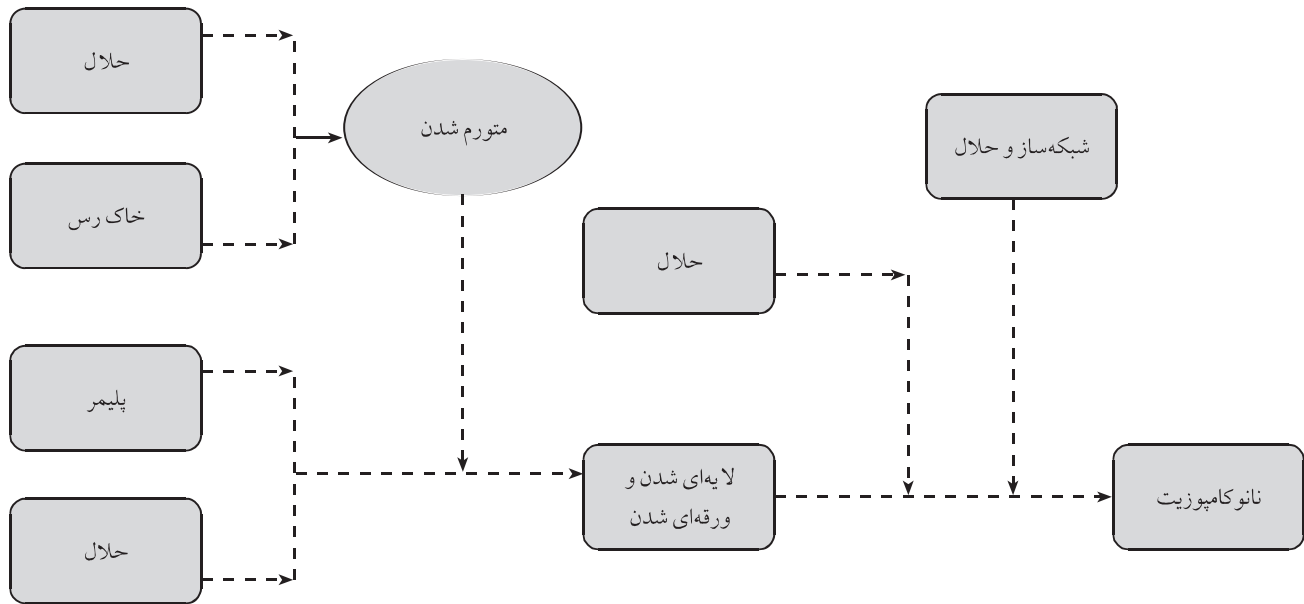
روش‌ها

اصلاح کائولینیت

به دلیل نیروی قوی بین لایه‌ای کائولینیت، پراکنش این مواد در محیط آبی بسیار سخت است و در محیط آبی به سادگی رسوب می‌کنند. به

جدول ۱- ترکیب آب سازند (چگالی در دمای ۳۰°C برابر ۱۱۴۵ mg/L است و pH برابر ۶/۸).

ترکیب	مقدار (mg/L)
سدیم	۵۴۲۰۰
کلسیم	۸۸۰۰
منیزیم	۱۷۰۰
سولفات	۱۴۴۰
کلرید	۱۰۵۶۱۵
کربنات	۰
بی‌کربنات	۳۹۰
هیدروکسید	۰
جمع کل	۱۷۰۵۰۰

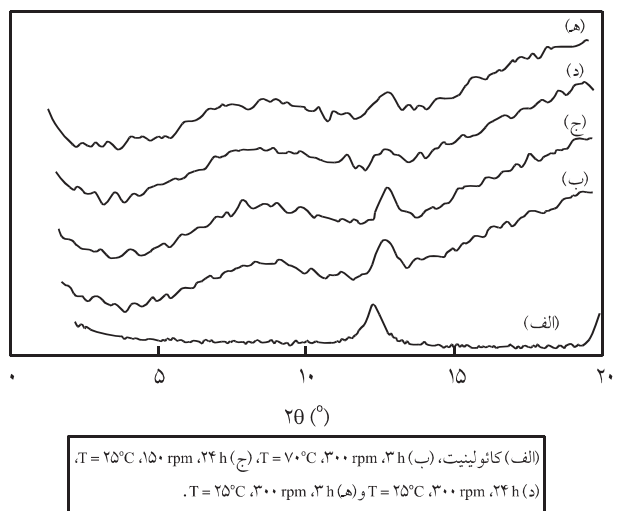


شکل ۲- مراحل آماده‌سازی نانوکامپوزیت با استفاده از روش حلال.

که این پدیده زیاد بودن سهم موادی را نشان می‌دهد که در این زاویه قرار دارند، در ادامه این پیک در زاویه 11° با روند نزولی کندی به اتمام می‌رسد. پیک دیگری که شدیدتر از پیک قبلی است در $2\theta = 20^\circ$ حدود $12/645$ درجه ظاهر می‌شود، این پیک مربوط به لایه‌هایی است که در شبکه پلیمر بدون تغییر باقی مانده‌اند. در حقیقت نفوذ پلیمر بین این لایه‌ها انجام نگرفته است. همان‌طور که در شکل ۳ دیده می‌شود، قوی‌ترین پیک برای کامپوزیت‌ها در حدود پیک کائولینیت خالص است که نشان دهنده نیروی بسیار قوی بین لایه‌ای در کائولینیت خالص است. بنابراین، با توجه به نیروی بین لایه‌ای بسیار قوی در کائولینیت‌ها و احتمال رسوب آنها در آب برای تهیه تعليقی پایدار و هم چنین بازکردن لایه‌های خاک رس از هم، عمل اصلاح روی این مواد انجام شد. شکل ۴ نتایج حاصل از XRD را برای دو نوع کائولینیت نشان می‌دهد. نتایج نشان می‌دارد که فاصله بین لایه‌ای با عمل اصلاح افزایش یافته است که دلیل آن واکنش بین لایه‌های سیلیکا و گروه‌های دی‌متیل سولفوکسید است. در این حالت فاصله بین لایه‌ای (d_{001}) از حالت اولیه $7/21^\circ$ در $10/82^\circ$ افزایش یافته است. هم چنین، برای کائولینیت اصلاح شده دو پیک دیده می‌شود که اولین پیک (از سمت چپ) مربوط به حالت نفوذ و واکنش گروه دی‌متیل سولفوکسید با سطح سیلیکاست و پیک دوم مربوط به کائولینیت‌هایی است که عملیات اصلاح روی آنها انجام نشده است [۲۸].

در شکل ۵ نتایج مربوط به ساخت نمونه کامپوزیتی ساخته شده با کائولینیت اصلاح شده نشان داده شده است. با توجه به شکل، فاصله

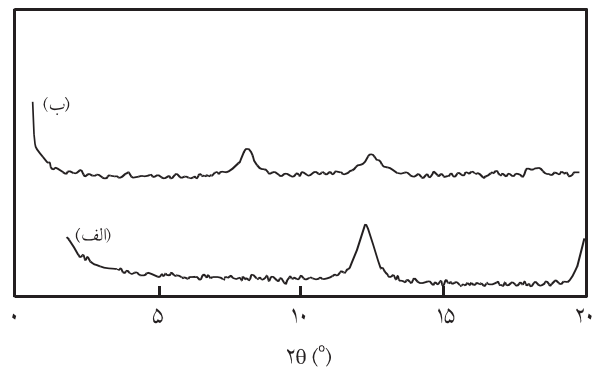
در شکل ۳ اثر زمان هم‌زدن، دور هم‌زن و دما روی مخلوط پلیمر و کائولینیت نشان داده شده است. برای نمونه‌های تهیه شده غلظت پلیمر 17000 ppm و غلظت خاک رس 15 درصد در نظر گرفته شد. با توجه به شکل برای همه موارد پیکی پهنه در $2\theta = 8^\circ$ حدود 8° درجه دیده می‌شود که نشان دهنده بازشدن لایه‌های کائولینیت و نفوذ شاخه‌های پلیمر بین لایه‌های است. پهنه بودن پیک نشان می‌دهد، محدوده وسیعی از فاصله بین لایه‌ای وجود دارد که متوسط این فاصله در حدود 8° درجه است. این پیک از زاویه حدود 5° درجه به طور ناگهانی شروع به افزایش کرده

شکل ۳- نمودار پراش پرتو X برای کامپوزیت با غلظت 17000 ppm از پلیمر و 6 درصد کائولینیت اصلاح نشده.

که در آن m_0 وزن اولیه ژل و m وزن ژل در هر زمان است. نمونه‌های تهیه شده برای بررسی چروکیدگی حاوی ۲۵ درصد وزنی آب سازند بودند و در دمای 90°C نگه داری شدند. برای جلوگیری از تبخیر نمونه‌ها و جلوگیری از به وجود آمدن خطایروی نمونه‌ها مقدار ۲ g پارافین اضافه شد.

ابتدا اثر غلاظت‌های مختلف کائولینیت اصلاح شده روی درصد واتورم کامپوزیت بررسی شد (شکل ۶). با توجه به شکل ۶ در غلاظت‌های کم خاک رس (کمتر از ۳ درصد)، وجود رس باعث افزایش پدیده واتورم شده است. اما با افزایش خاک رس تا ۹ درصد، چروکیدگی برای مدت ۵ روز حدود صفر درصد باقی می‌ماند، در حالی که مقدار چروکیدگی برای ژل بدون خاک رس حدود ۱۰ درصد است. اما، با گذشت زمان مقدار واتورم افزایش یافته است. با افزایش غلاظت رس تا ۱۵ درصد پس از گذشت ۱۴ روز چروکیدگی کمتر از ۲۰ درصد است که این مقدار برای ژل نزدیک ۴۰ درصد است. به نظر می‌رسد، این موضوع به دلیل خاصیت سدکنندگی خاک‌های رس است و دسترسی یون‌های دوظرفیتی (منیزیم و کلسیم) به موقعیت‌های منفی رابه تأخیر می‌اندازند. با افزایش بیشتر غلاظت خاک رس تا ۳۰ درصد به دلیل تجمع آن در زمینه پلیمر روند تغییر چروکیدگی خیلی شبیه ژل می‌شود. همان طور که در بخش پیشین توضیح داده شد، ساختار کامپوزیت در حالت استفاده از خاک رس اصلاح شده از نوع میکروسنت، چون پلیمر بین لایه‌های خاک رس نفوذ نکرده است. بنابراین به دلیل داشتن ساختار میکرو، بهبود خواص تنها در غلاظت‌های زیاد خاک رس مشاهده شد.

ارزیابی نتایج مقدار واتورم نمونه‌های ساخته شده با کائولینیت اصلاح نشده (شکل ۷) نشان می‌دهد که تنها در غلاظت‌های زیاد خاک رس (بیش از ۱۵ درصد) کاهش پدیده واتورم به دست می‌آید. در این حالت سرعت واتورم خیلی نزدیک حالت قبل است، به طوری که برای



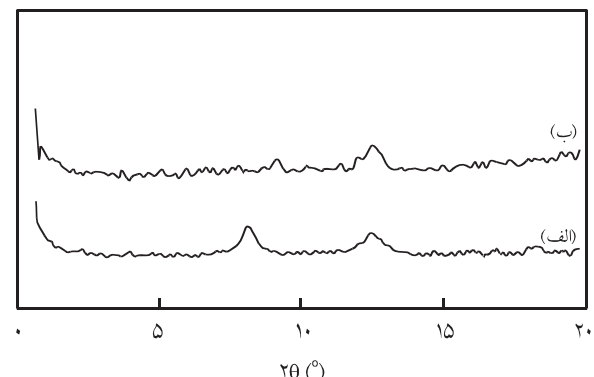
شکل ۴ - نمودار پراش پرتو X برای کائولینیت: (الف) اصلاح شده و (ب) اصلاح نشده.

بین لایه‌ای از $10/82\text{\AA}$ برای خاک رس اصلاح شده به مقدار 971\AA برای کامپوزیت کاهش یافته است که نشان می‌دهد، برهم کنش مناسب بین خاک رس و پلیمر رخ نداده است. به نظر می‌رسد، در این حالت DMSO به شکل مانعی برای نفوذ شاخه‌های پلیمر عمل کرده و حتی باعث شده که مقداری از خاک‌های رس اصلاح شده به حالت اولیه خود برگرداند. کاهش شدت پیک اول برای کامپوزیت از سمت راست و افزایش شدت پیک سمت چپ این مطلب را اثبات می‌کند.

آزمون واتورم

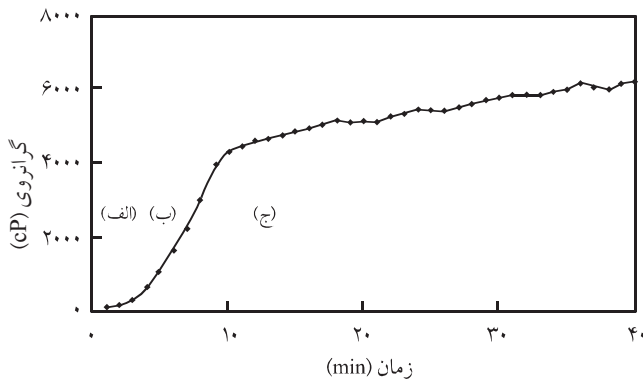
برای بررسی چروکیدگی نمونه‌ها، وزن مخلوط اولیه اندازه گیری شد و در زمان‌های مختلف، آب مخلوط جدا و ژل باقی مانده توزین شد. در نهایت با استفاده از معادله (۱) درصد واتورم محاسبه شد:

$$(1) \quad \frac{m_0 - m}{m_0} \times 100$$

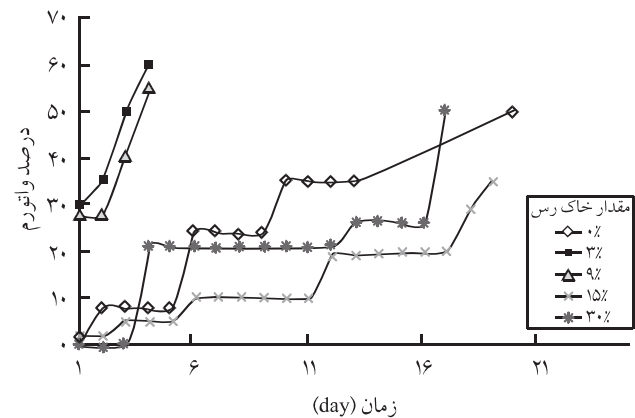


شکل ۵ - XRD: (الف) کائولینیت اصلاح شده و (ب) کامپوزیت شبكه ساز، ۱۵ درصد خاک رس و دمای 25°C . (۲) 1950 ppm پلیمر، 17000 ppm شبکه ساز و دمای 90°C .

شکل ۶ - اثر مقدار خاک رس اصلاح شده بر واتورم (۱۷۰۰۰ ppm پلیمر، 90°C شبکه ساز و دمای 2437 ppm)



شکل ۸ - تغییرات گرانروی ژل با زمان (۱۷۰۰۰ ppm پلیمر، ۱۹۵۰ ppm شبکه ساز، سرعت برش 10 mm/s و دمای 70°C).



شکل ۷ - اثر مقدار خاک رس اصلاح نشده بر واتورم (۱۷۰۰۰ ppm پلیمر، ۲۴۳۷ ppm شبکه ساز و دمای 90°C).

بررسی خواص ژلانت

تغییرات گرانروی با زمان برای محلول ژلانت شامل سه ناحیه است که این سه ناحیه در شکل ۸ نشان داده شده است. این سه ناحیه را می‌توان به ترتیب زیر معرفی کرد:

الف - دوره انگیزش: تغییر در گرانروی در این ناحیه نشان دهنده شروع واکنش است و ساختار سامانه شروع به تغییر کرده است. اما، افزایش گرانروی زیاد نیست که نشان دهنده این موضوع است که اتصالات عرضی به طور کامل شکل نگرفته‌اند و هنوز هیچ رشدی در اندازه مولکول مشاهده نشده است.

ب - دوره تسریع افزایش گرانروی: در این مرحله افزایش شدیدی در گرانروی به دلیل سرعت زیاد واکنش شبکه ساز با پلیمر ایجاد می‌شود.

ج - دوره اختتام: در این مرحله سرعت واکنش شروع به کاهش کرده و افزایش گرانروی محدود می‌شود. بنابراین، در این مرحله ساختار شبکه‌ای به محکم‌ترین حالت می‌رسد [۲۹].

در این بخش برای جلوگیری از تبخیر نمونه‌ها، آزمون در دمای 70°C انجام شد. پارامتر دما روی زمان ژل شدن اثر می‌گذارد و افزایش این پدیده باعث تسریع پدیده ژل شدن می‌شود [۷].

در شکل‌های ۹ و ۱۰ اثر مقدار خاک رس (سرعت برش ثابت 10 mm/s و غلظت ۱۹۵۰ ppm شبکه ساز) بر گرانروی برای محلول ژلانت بررسی شده است. نتایج نشان می‌دهد که افزایش غلظت خاک رس روی هر سه ناحیه اثر می‌گذارد، به طوری که باعث افزایش دوره انگیزش و کاهش سرعت واکنش در ناحیه دوم می‌شود و در نتیجه زمان ژل شدن افزایش و گرانروی نهایی کاهش می‌یابد.

با توجه به شکل ۹ اثر کائولینیت اصلاح شده روی گرانروی‌ها زیاد نیست. البته در غلظت‌های زیاد خاک رس (30 g/g) تفاوت به سمت

غلظت ۱۵ درصد خاک رس چروکیدگی پس از گذشت ۱۵ روز کمتر از ۲۰ درصد است، در حالی که این مقدار برای ژل بدون خاک رس حدود ۴۰ درصد است. اما، در این حالت زمان به تأخیر افتادن واتورم از حالت قبل بیشتر است.

برای غلظت 30 g/g درصد خاک رس، چروکیدگی پس از گذشت ۱۵ روز حدود ۲۵ درصد است، در حالی که این مقدار برای ژل بدون خاک رس حدود ۴۰ درصد است. افزون بر این، در غلظت مزبور (30 g/g درصد) افزایش ناگهانی چروکیدگی خیلی سریع تر از ژل بدون خاک رس است که پراکنش نامناسب خاک رس و تجمع آن در شبکه پلیمر را می‌توان دلیلی برای این موضوع بیان کرد. به نظر می‌رسد که در کائولینیت اصلاح شده وجود شاخه‌های دی‌متیل سولفوکسید روی سطح و بین لایه‌های خاک رس باعث می‌شود که در غلظت‌های زیاد خاک رس عمل پراکنش به خوبی انجام نشود و بهبود خواص به دست نیاید. در حالی که در حالت خاک رس اصلاح نشده به دلیل عدم وجود ممانعت فضایی، لایه‌های خاک رس در زمینه پلیمر پخش می‌شود و در غلظت‌های زیاد خاک رس هم بهبودی مشاهده می‌شود. همان‌طور که مشاهده شد، استفاده از خاک‌های رس اصلاح شده و نشده (غلظت ۱۵ درصد) باعث کاهش پدیده واتورم شد.

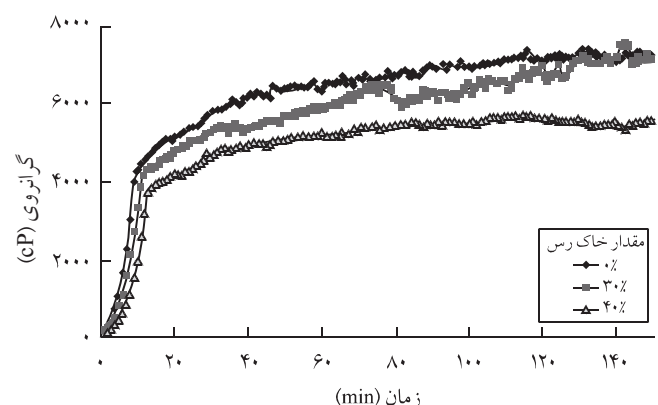
آزمون‌های رئولوژیکی

برای انجام آزمون‌های رئولوژیکی، رئومتر دو استوانه‌ای هم مرکز که مجهر به اسپیندل CC27 بود، به کار گرفته شد. پس از آماده سازی سامانه ژل مورد نظر، در حدود 20 mL از محلول درون استوانه مربوط به رئومتر ریخته و گرانروی نمونه اندازه گیری شد.

کاهش گرانزوی مشاهده می‌شود.

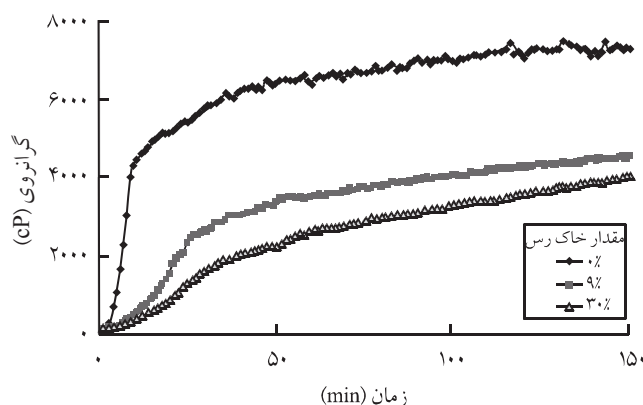
بررسی خواص ژل

در این بخش ژلهای یک روزه (به مدت ۲۴ h در دمای ۹۰°C قرار گرفتند) با درصد مختلف خاک رس زیر سرعت برش ثابت قرار گرفتند تا مقدار گرانزوی آنها اندازه گیری شود. همان‌طور که در شکل ۱۱ مشاهده می‌شود، در حالت افزودن خاک رس اصلاح شده با افزایش غلظت خاک رس (بیش از ۳ درصد) گرانزوی شروع به افزایش کرده و در غلظت ۱۵ درصد به مقدار بیشینه می‌رسد که می‌توان این غلظت را به عنوان غلظت بهینه خاک رس معرفی کرد. دلیل کاهش گرانزوی در غلظت‌های زیاد آن (۳۰ درصد) تجمع آن در ساختار پلیمر است که از ایجاد ساختاری همگن جلوگیری می‌کند. در کائولینیت اصلاح نشده تنها در دو غلظت ۱۵ و ۳۰ درصد خاک رس آزمایش انجام شد و مقدار گرانزوی در غلظت ۳۰ درصد بیشینه است (شکل ۱۱). بر خلاف حالت گرانزوی در غلظت ۳۰ درصد بیشینه است (شکل ۱۱)، بر خلاف حالت قبل در اینجا به نظر می‌رسد، نفوذ شاخه‌های پلیمر بین لایه‌های خاک رس و هم‌چنین وجود پیوند بین شاخه‌های پلیمر و سطوح خاک رس باعث افزایش گرانزوی در کامپوزیت می‌شود، در نتیجه حتی در غلظت‌های زیاد خاک رس افزایش گرانزوی مشاهده می‌شود. نکته دیگر این که از مقایسه نمودارهای شکل ۱۱ برای غلظت ۱۵ درصد خاک رس مشاهده می‌شود که گرانزوی برای کامپوزیت ساخته شده با خاک رس اصلاح شده خیلی بیشتر است (بیش از ۱۵۰۰ cP) که نشان‌دهنده ساختاری مستحکم‌تر برای کامپوزیت در این حالت است. به نظر می‌رسد پیوندهای بین شاخه‌های پلیمر و گروه‌های DMSO خیلی قوی‌تر از پیوند بین شاخه‌های پلیمر و سطح است و این پیوندهای قوی

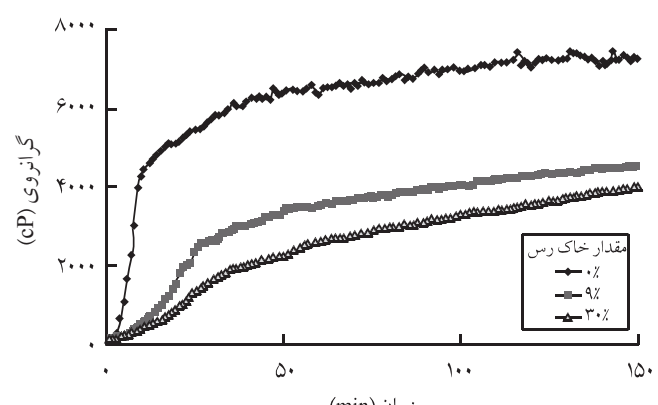


شکل ۹ - اثر مقدار کائولینیت اصلاح شده بر گرانزوی ژلانت کامپوزیت ۱۷۰۰۰ ppm پلیمر، سرعت برش ثابت 10s^{-1} ، ۱۹۵۰ ppm شبکه‌ساز و دمای ۷۰°C.

زیاد شدن میل می‌کند. در این حالت با توجه به نتایج به دست آمده از پراش پرتو X به نظر می‌رسد که وجود شاخه‌های دی‌متیل سولفوکسید در بین و روی لایه‌های خاک رس به عنوان مانعی برای نفوذ پلیمر بین لایه‌ها و پراکنش آنها عمل کرده و از رسیدن به مخلوطی همگن جلوگیری می‌کند. در نتیجه کاهش چندانی در گرانزوی مشاهده نمی‌شود. اما، درباره کائولینیت اصلاح نشده تفاوت‌ها به طور قابل ملاحظه‌ای بسیار زیاد است (شکل ۱۰). در این حالت نفوذ پلیمر بین لایه‌های خاک رس باعث پراکنش مناسب لایه‌ها شده و خاک رس باعث سدکنندگی می‌شود. این کاهش گرانزوی حتی با افزایش غلظت خاک رس از بین نرفته است و در غلظت‌های زیاد خاک رس هم چنان



شکل ۱۱ - تغییرات گرانزوی کامپوزیت بر حسب درصد خاک رس برای کامپوزیت‌های شامل کائولینیت اصلاح شده و نشده (سرعت برش ثابت 10s^{-1} ، غلظت شبکه‌ساز ۲۴۳۷ ppm و دمای محیط).



شکل ۱۰ - اثر مقدار کائولینیت اصلاح نشده بر گرانزوی ژلانت کامپوزیت ۱۷۰۰۰ ppm پلیمر، سرعت برش ثابت 10s^{-1} ، ۱۹۵۰ ppm شبکه‌ساز و دمای ۷۰°C.

بود. اما در غلظت‌های زیاد خاک رس (۳۰ درصد) هیچ کاهشی در واتورم مشاهده نشد. برای نمونه‌های ساخته شده با کائولینیت اصلاح نشده کاهش واتورم در غلظت‌های زیاد خاک رس (بیش از ۱۵ درصد) مشاهده شد و این کاهش در غلظت ۱۵ درصد بیشترین مقدار بود. با افزایش غلظت خاک رس (کائولینیت اصلاح شده و نشده) زمان ژل شدن افزایش و گرانزوی نهایی کاهش یافت. این تفاوت‌ها برای حالت استفاده از کائولینیت اصلاح نشده بیشتر از کائولینیت اصلاح شده بود. در ژل‌های ساخته شده با کائولینیت اصلاح شده با افزایش غلظت خاک رس گرانزوی کامپوزیت شروع به افزایش کرد و در غلظت ۱۵ درصد به مقدار بیشینه رسید. در ژل‌های ساخته شده با کائولینیت اصلاح نشده با افزایش غلظت خاک رس گرانزوی کامپوزیت افزایش یافت و در غلظت ۳۰ درصد به بیشترین مقدار رسید. با توجه به نتایج به دست آمده، بهبود خواص برای ژل در حالت اضافه کردن خاک رس (اصلاح شده و نشده) مشاهده شد. اما، تغییر چندانی بین این دو نوع کامپوزیت خاک رس مشاهده نشد. بنابراین، بهتر آن است که خاک رس را به شکل اصلاح نشده در ساخت کامپوزیت استفاده کرد تا در هزینه و زمان مورد نیاز برای اصلاح آن صرفه جویی شود.

باعث ایجاد ساختاری فشرده و قوی‌تر برای کامپوزیت خاک رس اصلاح شده می‌شود و در نتیجه گرانزوی افزایش می‌یابد.

نتیجه‌گیری

در این پژوهش، کامپوزیت ژل (پایه پلی آکریل آمید با شبکه ساز استات کروم (III)) با استفاده از روش حلال (آب مقطر و آب سازند) و خاک رس تهیه شد. به منظور بهبود خواص ژل از کائولینیت اصلاح شده و نشده استفاده شد. نتایج نشان داد، در حالت استفاده از خاک رس اصلاح نشده برای زمان‌های هم‌زدن مختلف و دوره‌های هم‌زدن مختلف پیک پهنی در XRD مشاهده شد که متوسط آن در زاویه حدود ۸ درجه قرار داشت. عمل اصلاح کائولینیت باعث شد که فاصله بین لایه‌ای از ۷/۲۱ به $10/82\text{\AA}$ افزایش یابد. در حالت استفاده از کائولینیت اصلاح شده در ساخت نمونه‌ها هیچ افزایش فاصله بین مولکولی مشاهده نشد. در آزمون‌های واتورم در حالت استفاده از کائولینیت اصلاح شده (غلظت ۱۵ درصد خاک رس) درصد واتورم پس از ۱۴ روز کمتر از ۲۰ درصد بود، در حالی که این مقدار برای نمونه بدون خاک رس حدود ۴۰ درصد

مراجع

- Wang W., Liu Y., and Gu Y., Application of a Novel Polymer System in Chemical Enhanced Oil Recovery (EOR), *Colloid. Polym. Sci.*, **281**, 1046-1054, 2003.
- Moradi-Araghi A., Beardmore D.H., and Stahli G.A. *The Application of Gels in Enhanced Oil Recovery: Theory, Polymers and Crosslinker Systems; Water-Soluble Polymers for Petroleum Recovery*, Stahl G.A. and Schultz D.N. (Eds.), Plenum, New York, 299-312, 1988.
- Borling D., Chun K., Hughes T., and Sydansk R., Pushing Out the Oil with Conformance Control, *Oilfield Rev.*, **6**, 48-55, 1994.
- Seright R., A Review of Gel Placement Concept, *NM Tech PRRC*, 96-21, 1999.
- Wang D.M., Cheng J.H., Yang Q.Y., Gong W.C., Li Q., and Chen F.M., Viscous-elastic Polymer can Increase Microscale Displacement Efficiency in Cores, SPE 63227, The 2000 Society of Petroleum Engineers Annual Technical Conference and Exhibition, Texas, 1-4, October 2000.
- Gallino G., Molinari M., and Lockhart T.P., Rheological Studies of the Gelation Kinetics of Chromium(III)-Polyacrylamide Solutions, *Macromol. Symp.*, **45**, 137-144, 1991.
- Sydansk R.D., A New Conformance-Improvement-Treatment Chromium (III) Gel Technology, SPE/ODE17329, April 1988.
- Willhite P. and Green D.W., Application of Gelled Polymer for Water Control, SPE Conference, Tehran, Iran, 114, June 2002.
- Dawe, R.A., and Zhang Y., Mechanistic Study of the Selective action of Oil and Water Penetrating into a Gel Emplaced in a Porous Medium, *J. Pet. Sci. Eng.*, **12**, 113-125, 1994.
- Changchun Zeng M.S, *Synthesis, Structure and Properties of Polymer Nanocomposites*, Dissertation, The Ohio State University, 2004
- Okay O. and Oppermann W., Polyacrylamide-Clay Nanocomposite Hydrogels: Rheological and Light Scattering Characterization, *Macromolecules*, **40**, 3378-3387, 2007.
- Haraguchi K., Takehisa T., and Fan S., Effects of Clay Content on the Properties of Nanocomposite Hydrogels Composed of Poly(N-isopropylacrylamide) and Clay, *Macromolecules*, **35**, 10162-10171, 2002.
- Ma J., Xu Y., Fan B., and Liang B., Preparation and Characterization of Sodium Carboxymethylcellulose/Poly(N-isopropylacrylamide)/Clay Semi-IPN Nanocomposite Hydrogels, *Eur.*

- Polym. J.*, **43**, 2221-2228, 2007.
14. Haraguchi K., and Takehisa T., Nanocomposite Hydrogels: a Unique Organic-Inorganic Network Structure with Extraordinary Mechanical, Optical, and Swelling/Deswelling Properties, *Adv. Mater.*, **14**, 1120-1124, 2002.
 15. Liu Y., Zhu M., Liu X., Zhang W., Sun B., Chen Y., and Adler H., High Clay Content Nanocomposite Hydrogels with Surprising Mechanical Strength and Interesting Deswelling Kinetics, *Polymer*, **47**, 1-5, 2006.
 16. Lee W.F. and Lee S.C., Effect of the Intercalation Agent content of Montmorillonite on the Swelling Behavior and Drug Release Behavior of Nanocomposite Hydrogels, *J. Appl. Polym. Sci.*, **94**, 74-82, 2004.
 17. Lee W.F. and Fu Y.T., Effect of Montmorillonite on the Swelling Behavior and Drug-Release Behavior of Nanocomposite Hydrogels, *J. Appl. Polym. Sci.*, **89**, 3652-3660, 2003.
 18. Weian Z., Wei L., and Yuee F., Synthesis and Properties of a Novel Hydrogel Nanocomposites, *Mater. Lett.*, **59**, 2876-2880, 2005.
 19. Lee W.F. and Chen S.C., Effect of Hydrotalcite on the Physical Properties and Drug-Release Behavior of Nanocomposite Hydrogels based on Poly(acrylic acid-*co*-poly(ethylene glycol) methyl ether acrylate) gels, *J. Appl. Polym. Sci.*, **94**, 692-699, 2004.
 20. Zhang J., Chen H., and Wang A., Study on Superabsorbent Composite. III. Swelling Behaviors of Polyacrylamide/Attapulgite Composite based on Acidified Attapulgite and Organo-Attapulgite, *Eur. Polym. J.*, **41**, 2434-2442, 2005.
 21. Lee W. and Chen Y., Effect of Intercalated Reactive Mica on Water Absorbency for Poly(sodium acrylate) Composite Super-absorbents, *Eur. Polym. J.*, **41**, 1605-1612, 2005.
 22. Wu J., Wei Y., Lin J., and Lin S., Study on Starch-g-Acrylamide/Mineral Powder Superabsorbent Composite, *Polymer*, **44**, 6513-6520, 2003.
 23. Zhang J.P., Chen H., and Wang A.Q., Study on Superabsorbent Composite-VII. Effects of Organification of Attapulgite on Swelling Behaviors of Poly(acrylic acid-*co*-acrylamide)/Sodium Humate/Organooattapulgite Composite, *Polym. Adv. Technol.*, **17**, 379-385, 2006.
 24. Aalaie J. and Rahmatpour A., Preparation and Swelling Behavior of Partially Hydrolyzed Polyacrylamide Nanocomposite Hydrogels in Electrolyte Solution, *J. Macromol. Sci. Phys.*, **47**, 98-108, 2008.
 25. Aalaie J., Vasheghani-Farahani E., Rahmatpour A., and Sem sarzadeh M.A., Effect of Montmorillonite on Gelation and Swelling Behavior of Sulfonated Polyacrylamide Nanocomposite Hydrogels in Electrolyte Solutions, *Eur. Polym. J.*, **44**, 2024-2031, 2008.
 26. Gardolinski J.E, Ramos L.P., Souzay G., and Wypych F., Intercalation of Benzamide into Kaolinite, *J. Colloid. Interface Sci.*, **221**, 284-290 ,2000.
 27. Zolfaghari R., Katbab A.A., Nabavizadeh J., Yousefzadeh T.R., and Hossein Nejad M., Preparation and Characterization of Nanocomposite Hydrogels based on Polyacrylamide for Enhanced Oil Recovery Applications, *J. Appl. Polym. Sci.*, **100**, 2096-2103, 2006.
 28. Essawy H.A., Poly(methyl methacrylate)-Kaolinite Nanocomposites Prepared by Interfacial Polymerization with Redox Initiator System, *Colloid. Polym. Sci.*, **286**, 795-803, 2008.
 29. Wang G.X., Wang Z.H., and Chen Z.Q., Rate Equation of Gelation of Chromium(III)-Polyacrylamide Sol, *Chinese, J. Chem.*, **13**, 97-101, 1995.

